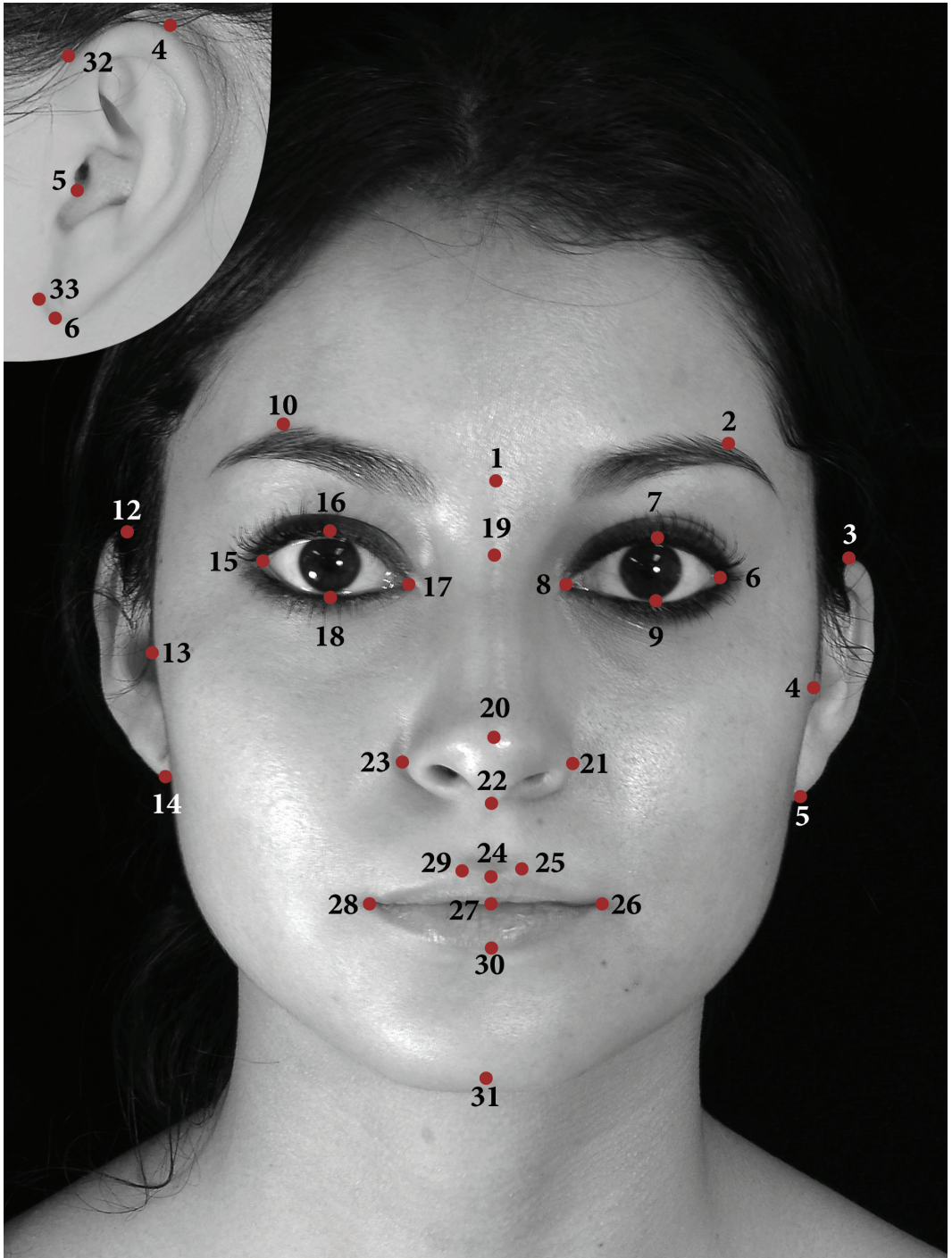


Material suplementario 1. Definiciones anatómicas de los landmarks faciales empleados en este análisis

| Número | Nombre | Definición anatómica |
|-------------|---------------------|---|
| Sagitales | | |
| 1 | Glabela | El punto sobre la línea media a la altura de los arcos superciliares |
| 18 | Nasion (sellion) | El punto medio de la sutura nasofrontal |
| 19 | Pronasal | El punto más prominente de la nariz |
| 21 | Subnasal | El punto medio donde se une el borde inferior del septum nasal, la partición que divide las narinas y la porción cutánea del labio superior |
| 23 | Labial superious | El punto medio del borde vermilion sobre el labio superior |
| 26 | Stomion | El punto medio de la fisura labial cuando los labios están cerrados naturalmente |
| 29 | Labial inferior | El punto medio del borde vermilion del labio inferior |
| 30 | Gnathion | El punto más bajo en la línea media del borde inferior de la barbilla |
| Bilaterales | | |
| 2,10 | Frontotemporal | El punto más medial sobre la cresta temporal del hueso frontal |
| 3,11 | Superaural | El punto máximo en el borde superior de la oreja |
| 4,12 | Tragion | La punta del tragus |
| 5,13 | Subaurale | El punto más bajo en el borde inferior de la oreja |
| 6,16 | Exocanthion | La esquina exterior de la hendidura del ojo derecho donde los párpados se encuentran. |
| 7,15 | Palpebral superior | El punto más alto en el margen superior de la porción media del párpado |
| 8, 14 | Endocanthion | La esquina interior de la hendidura del ojo derecho donde los párpados se encuentran, no es caruncular |
| 9, 17 | Palpebrale inferior | El punto más bajo en el medio del margen del párpado inferior |
| 20,22 | Alar | El punto más lateral sobre el ala nasal |
| 24,28 | Crista philtrum | El punto sobre la cresta de la depresión infranasal (philtrum), cuando este cruza con el borde vermilion |
| 25,27 | Cheilion | La esquina externa de la boca donde los bordes externos del vermilion superior e inferior se encuentran |
| 31,33 | Otobasion superior | El punto superior de la unión entre el lóbulo y la cabeza (punto de inserción de la oreja) |
| 32,34 | Otobasion inferior | El punto inferior de la unión entre el lóbulo y la cabeza (punto de inserción de la oreja) |



Material suplementario 2. Resultados del Procrustes ANOVA y MANOVA con el sexo como covariable

| Procrustes ANOVA | | | | | |
|------------------|--------|-------|--------|--------|------------|
| Efecto | SS | MS | df | F | P (param.) |
| Sexo | 0.499 | 0.010 | 51 | 163.98 | <.0001 |
| Individuo | 12.654 | 0.000 | 212160 | 6.64 | <.0001 |
| AD | 0.075 | 0.002 | 44 | 188.74 | <.0001 |
| AF | 1.646 | 0.000 | 183084 | 1.24 | <.0001 |
| Error | 0.113 | 0.000 | 15675 | | |

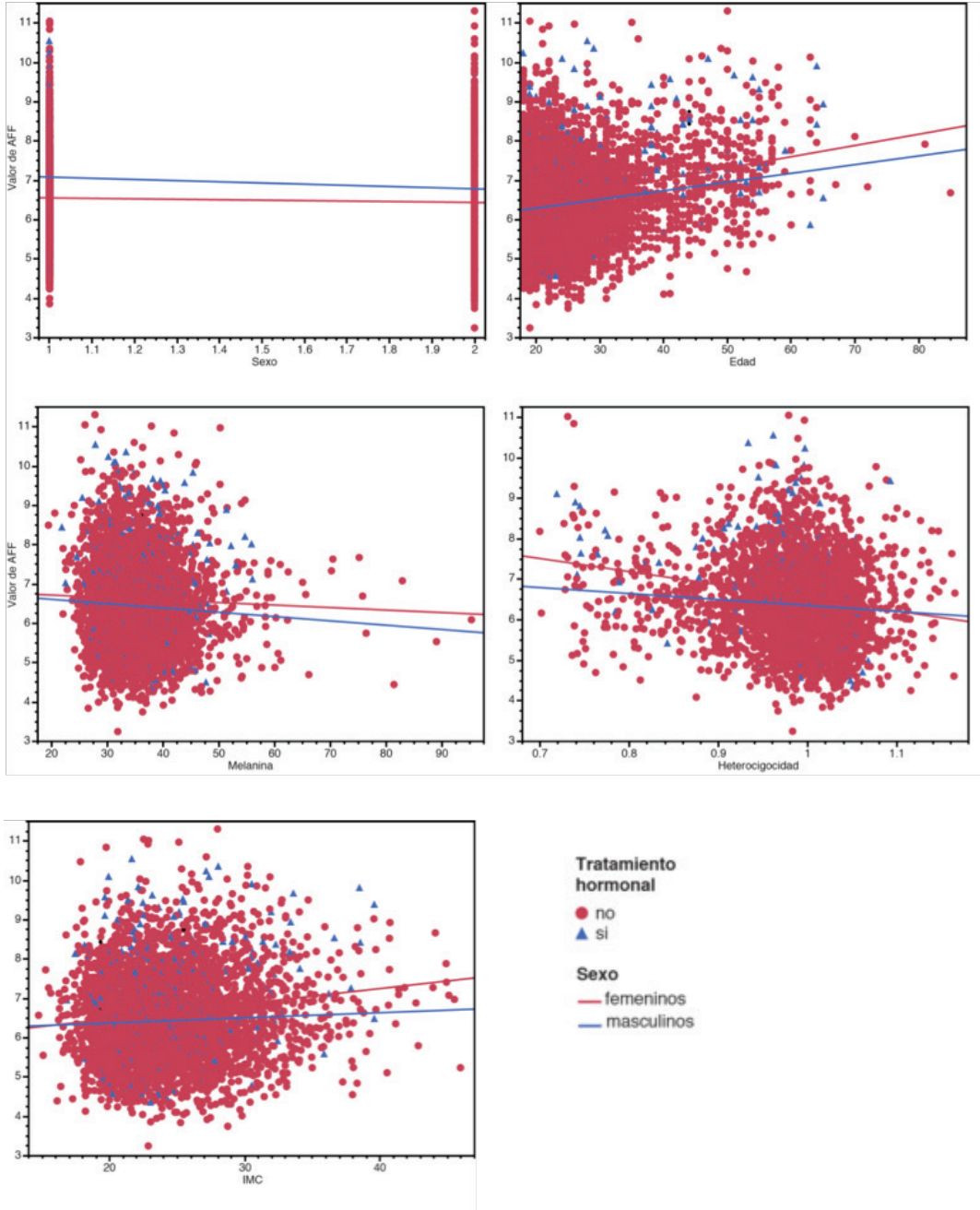
| Prueba de efectos MANOVA | | | | | |
|--------------------------|------------|------------|-----------------------|------------|------------|
| Componente simétrico | | | Componente asimétrico | | |
| Efecto | Pillai tr. | P (param.) | Efecto | Pillai tr. | P (param.) |
| Sexo | 0.66 | <.0001 | Sexo | 0.1 | <.0001 |
| Individuo | 51.52 | | AD | 0.75 | <.0001 |
| | | | AF | 43.02 | <.0001 |

Material suplementario 3. Resultados del modelo de regresión múltiple* para las covariables edad, IMC, índice de melanina y heterocigosidad

| Variable | gl | SS | F | p |
|--------------------|----|--------|--------|--------|
| Edad | 1 | 0.039 | 0.027 | 0.869 |
| IMC | 1 | 4.455 | 3.130 | 0.079 |
| Índice de melanina | 1 | 3.364 | 2.363 | 0.126 |
| Heterocigosidad | 1 | 27.318 | 19.194 | <.0001 |

* todo el modelo resulta significativo F 5.98 p 0.002, ajustando para r^2 0.12 con RMSE 1.19

Material suplementario 4. Correlaciones entre los valores de asimetría fluctuante facial (AFF) y las covariables: sexo, edad, IMC, melanina y la heterocigosidad, como indicador de ancestría genética



Material suplementario 5. Resultados del ACP realizado sobre los datos de mujeres que reportaron algún tratamiento hormonal asociado

| Número | Eigenvalores | Varianza | % Var. Acumulada |
|--------|--------------|----------|------------------|
| 1. | 0.00010977 | 25.082 | 25.08 |
| 2. | 0.00004945 | 11.299 | 36.38 |
| 3. | 0.00003543 | 8.096 | 44.48 |
| 4. | 0.00002533 | 5.787 | 50.26 |
| 5. | 0.00002137 | 4.882 | 55.15 |
| 6. | 0.00001974 | 4.511 | 59.66 |
| 7. | 0.00001749 | 3.996 | 63.65 |
| | | [...] | |
| 38. | 0.00000091 | 0.208 | 99.19 |
| 39. | 0.00000077 | 0.176 | 99.36 |
| 40. | 0.00000069 | 0.158 | 99.52 |
| 41. | 0.00000066 | 0.150 | 99.67 |
| 42. | 0.00000059 | 0.134 | 99.81 |
| 43. | 0.00000045 | 0.103 | 99.91 |
| 44. | 0.00000040 | 0.091 | 100.00 |

Varianza total : 0.00043766